

九州大学工学部 正員 横木 武
九州大学工学部 学生員 楊 熟得
九州大学工学部 学生員 ○松隈 宣明

1. まえがき 有限要素法は極めて汎用性に富み、他の法に勝る多くの特色を有することから、浸透流問題にも広く活用されている。しかし、従来のFEMの浸透流問題への直接適用では、演算量が膨大になり、また流量算定にはうつきが生じる等難点がある。そこで本研究では、それらの難点を解消すべく、構造解析における還元法の概念を導入し、FEMの基礎式から、還元解析のための基礎式を説明するものである。本法によれば、FEMの欠点である演算効率が改善され、また流量算定に節点流量法を用いることと、自由水面や、浸出点追跡上の要素分割とが相反することなく、極めて好都合になるものである。

2. ブロック分割と要素分割 従来のFEMでは、ポテンシャル演算箇所等で要素分割を小さくする配慮などがあるものの、一般的な分割上の規則性はないが、本法では還元法の概念も用いるため、要素分割にある種の規則性が要望されることになる。すなはち、Fig. 1 に示すごとく、ブロック分割を必要とすることと、ブロック線上の節点数が互に等しいことの二点である。これらのこととはFEMの任意分割に比し、本法の利点も損うものではない。

3. 基本式の説明

A. 格間式・伝達式 ブロック線 $i-1$ と i とでは含まれるブロック i を取り出せば、Fig. 2 に示すとおりである。各ブロック線上の節点番号を $1, 2, \dots, n$ と付し、これら節点のポテンシャル及び節点流量を構成されるベクトルを $H_{(i-1)i}$, $Q_{(i-1)i}$ と記号表示する。ブロック $i-1$ を適当に、三角形、四辺形要素に分割し、FEM の基本式なる浸透性方程式を求める集積すれば、

$$\begin{bmatrix} Q_{(i-1)i} \\ -Q_{(i-1)i} \end{bmatrix} = \begin{bmatrix} |k_{(i-1)i}| & |k_{(i-1)i}| \\ |k_{(i-1)i}| & |k_{ii}| \end{bmatrix} \begin{bmatrix} H_{(i-1)i} \\ H_{ii} \end{bmatrix}$$

ここに $|k_{\cdot\cdot}|$; 浸透性マトリックス, $|R_{(i-1)i}|, |R_{ii}|$: 等価節点発生(吸収)流量, Q は左側断面で流入が右側断面で流出が主とする。

$$\begin{bmatrix} |k_{(i-1)i}| & nO_m \\ -|k_{ii}| & -nI_n \end{bmatrix} \begin{bmatrix} nO_m \\ Q_{(i-1)i} \end{bmatrix} = \begin{bmatrix} -|R_{(i-1)i}| & nI_n \\ |R_{(i-1)i}| & |R_{ii}| \end{bmatrix} \begin{bmatrix} H_{(i-1)i} \\ H_{ii} \end{bmatrix} + \begin{bmatrix} -R_{(i-1)i} \\ R_{ii} \end{bmatrix} \quad (1)$$

ここで nO_m, nI_n ; $n \times n$ 次の零
及び単位マトリックス

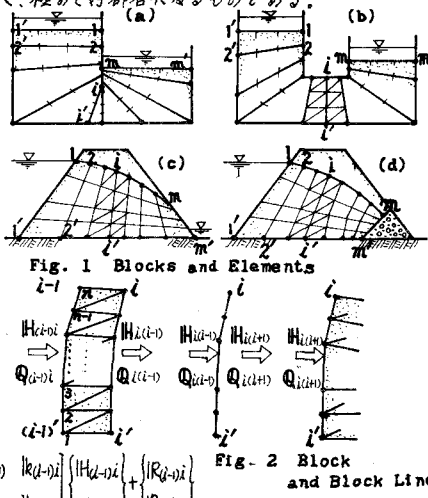
ここで、 $\nabla^T = [H \ O]$ なるベクトルを定義すれば式(1)より次式が得られる。

$$\nabla_{(i-1)i} = \begin{bmatrix} |k_{(i-1)i}| & |k_{(i-1)i}| \\ |k_{ii}| & |k_{ii}| \end{bmatrix} \nabla_{(i-1)i} + \nabla_{(i-1)i}^0 \quad \text{ここで } \nabla_{(i-1)i}^0 = A_{(i-1)i} \begin{bmatrix} -R_{(i-1)i} \\ R_{ii} \end{bmatrix}^T, \\ \text{また } \begin{bmatrix} |k_{(i-1)i}| & |k_{(i-1)i}| \\ |k_{ii}| & |k_{ii}| \end{bmatrix} \begin{bmatrix} |k_{(i-1)i}| & nO_m \\ |k_{ii}| & nI_n \end{bmatrix}, \quad A_{(i-1)i} = \begin{bmatrix} |k_{(i-1)i}| & nO_m \\ -|k_{ii}| & |k_{ii}| \end{bmatrix} \quad \} \quad (2)$$

である。式(2)はブロック $i-1$ におけるブロック線 i と $i-1$ の両状態ベクトルの関係を示す格間式であり、 $\nabla_{(i-1)i}$ は格間マトリックスである。Fig. 2 の要素分割の性質より $|k_{(i-1)i}|$ が対角 3 項対角行列となるため、その逆マトリックスを秘め易く簡単に算出でき、したがって $\nabla_{(i-1)i}$ の演算効率は差程問題としないに至る。Fig. 2 に示すごとく、ブロック線 i 上において、ポテンシャルは一意的に定まり、また各節点の水取扱いに閉鎖考慮から $\nabla_{(i-1)i} = \nabla_{(i-1)i}^0$ が成立する。故に式(2)は次式のようになる。 $\nabla_{(i-1)i} = \nabla_{(i-1)i}^0 + \nabla_{(i-1)i}^0 \quad (3)$ この式が本題の伝達式となるものである。

B. 境界条件式 Fig. 1 に示すように、固定条件がブロック線 $1, m$ で与えられるが、その境界条件式は次のように説明される。

(a) ブロック線 1 における境界条件式 固定条件がポテンシャル既知の場合には、 $H_{11} = H_L \dots (a)$ なる条件が成立する。一方状態ベクトル ∇_{11} は、



$$\nabla_{12} = \begin{Bmatrix} 1H_{12} \\ Q_{12} \end{Bmatrix} = \begin{Bmatrix} 1H_{12} \\ n\theta_n \\ nI_n \end{Bmatrix} \cdot 1 + \begin{Bmatrix} n\theta_n \\ nI_n \\ 1 \end{Bmatrix} Q_{12} \quad \text{ここで式(2)を代入し整理すれば } \nabla_{12} = B_{LH} \begin{Bmatrix} Q_{12} \\ 1 \end{Bmatrix} \quad \text{ここで } B_{LH} = \begin{Bmatrix} n\theta_n & 1H_{12} \\ nI_n & n\theta_n \end{Bmatrix}$$

---- (4)。 すなはち、式(4)が、式(2)に代る境界条件で、式中の係数 B_{RH} はブロック線1の境界マトリックスである。同様にして、流量既知(Q_L)なる固定条件で与えられる場合の境界条件式と境界マトリックスがえらべ次のようとなる。

$$\nabla_{12} = B_{LQ} \begin{Bmatrix} 1H_{12} \\ 1 \end{Bmatrix} \quad \text{ここで } B_{LQ} = \begin{Bmatrix} nI_n & n\theta_n \\ n\theta_n & Q_L \end{Bmatrix} \quad (5)$$

(b) ブロック線 m における境界条件式

ブロック線 m 上の各節点がボテンシャル既知(H_R)の場合は、

$$B_{RH} \nabla_{m(m-1)} = 1H_R \quad \text{ここで } B_{RH} = \begin{Bmatrix} nI_n & n\theta_n \end{Bmatrix} \quad (6)$$

同様に流量既知(Q_R)の場合には、

$$B_{RQ} \nabla_{m(m-1)} = Q_R \quad \text{ここで } B_{RQ} = \begin{Bmatrix} n\theta_n & nI_n \end{Bmatrix} \quad (7)$$

4. 解析手順

Fig. 1. (a), (b) に例示するごとき被

圧浸透流問題について考えよう。相隣する二つのブロック毎に式(3)の伝達式を立てれば、

$$\nabla_{23} = I_{12} \nabla_{12} + \nabla_{10}, \quad \nabla_{34} = I_{23} \nabla_{23} + \nabla_{20}, \dots, \quad \nabla_{m(m-1)m} = I_{(m-2)(m-1)} \nabla_{(m-2)(m-1)} + \nabla_{(m-2)0} \quad (8)$$

上記各式に於て、式(1)から順次代入し繰り返せば、

$$\nabla_{23} = (I_{12}) \nabla_{12} + \nabla_{10}, \quad \nabla_{34} = (I_{23} \cdot I_{12}) \nabla_{12} + (I_{23}) \nabla_{10} + \nabla_{20}, \dots, \quad \nabla_{(m-1)m} = (I_{(m-2)(m-1)} \cdot I_{(m-3)(m-2)}) \nabla_{(m-2)(m-1)} + \nabla_{(m-2)0} \quad (8)$$

$$\dots - (I_{12}) \nabla_{12} + (I_{(m-2)(m-1)} \cdot I_{(m-3)(m-2)} \cdots I_{23}) \nabla_{10} + \dots + (I_{(m-2)(m-1)}) \nabla_{(m-3)0} + \nabla_{(m-2)0} \quad (8)$$

式(8)の最後の式とブロック $(m-1)$ の格間式、式(6)又は、式(7)及び式(4)又は、式(5)を用いて Q_{12} 又は $1H_2$ を未知量とする本題の基礎式がえられる。例えば、兩境界条件がボテンシャル既知の場合の基礎式を示せば次のとおりである

$$B_{RH} \nabla_{m(m-1)} [Q_{12}] + B_{RQ} \nabla_{m(m-1)} [1H_2] + B_{RH} (I_{(m-2)(m-1)} \cdot I_{23}) \nabla_{10} + \dots + B_{RH} (I_{(m-3)(m-2)} \cdot I_{(m-2)(m-1)}) \nabla_{(m-3)0} + B_{RH} \nabla_{(m-2)0} = 1H_R \quad \text{ここで } I^T = \prod_{i=2}^{m-1} I_{i,i-1} \quad (9)$$

次に Fig. 1. (c), (d) に示すごとき不圧浸透流問題の場合であるが、このときも基礎式そのものは、前述のものと変らない。唯、自由水面と浸出点が存在するため試算法による解析を行ふ必要がある。従来のFEMでは、自由水面及び浸出点の修正追跡過程の違いにより浸出点仮定法と2段階法の2法が提案されている。還元法の概念を導入した本解析に於ても、2段階法は、基本式に若干の修正を必要とするものの、両手法による解析が可能であるが、その内容は紙面の都合上割愛し、講演時に詳述することとする。

5. 適用例 Fig. 3 は、ダム浸透流問題に対して本還元解析法のうち、浸出点仮定法を適用した例である。浸出点の推定は著者らの方法を採用した。図には各演算段階に於ける自由水面、浸出点、の収束状況がプロットされている。同じモデルを分割要素数をかえて解析し、比較的粗い分割でも精度の高い結果が得られる事がわかった。この例題は従来のFEMによても解かれているが、断面流量に関して本法と比較すれば、Table 1 のとおりである。その値は直接適用の場合の平均値よりやや小さいが、Casagrande の方法等の結果と比較して何らかの誤差があると言える。その他、直交異方性体、鉛直コアを有する堤体、トンネルの湧水問題等を解析したが、詳細は講演時に報告の予定である。

6. 結語 以上、還元有限要素法とでも称すべき手法を提案したが、本法の利点とする所を例挙すれば、次のとおりである。
 1) 1/4 境界角に直角格子で行う事及び浮動・固定点の概念の導入により格間マトリックスの算定が極めて少ない演算量である。又基礎式の次元が著しく減らされ解析上の演算労力が極めて少ないものになる。
 2) 粗い分割でも比較的良い解が得られる。
 3) 断面流量が、ばらつく事なく従来のFEMに比し勝るとも劣らぬ結果を得る。
 なお本法の適用に当り注意すべき事は、ブロック数が大きくなるほど、各要素の値が大きくなるため計算上の丸め誤差による演算精度の劣化が生じる事である。倍精度演算の工夫が必要になる。本法は、ダムの他、トンネル湧水問題、二層流問題、非定常流三次元流にも適用可能であり結果を得て公表したい。

参考文献

- 1) たとえば Taylor, R.L. & C.B. Brown; Darcy flow Solutions with a Free Surface, Proc. ASCE, vol 93, No HY2, 1967
- 2) たとえば 川本, 駒田, 宮田; 堤体及び基礎に沿ける浸透流の有限要素解析法, 土と基礎, vol 18, No 12, 1970, PP25~33
pp19~26
- 3) Kono, I.; Finite Element Analysis of Interface problem in Ground Water Flow 土論, No 228, 1974, PP105~116
- 4) Neuman, S.P. and P.A. Witherspoon; Finite Element Method of Analysing Steady Seepage with a Free Surface Water Res. Research, vol 6, No 3, 1970, PP889~897

5) 稲木・楊・佐隈; 不圧流水の湧出点推定法, 九大工学集報, vol. 49, No. 1, 1976

Fig. 3. Seepage Through a Dam
(17 Blocks - 5 Elements Model)

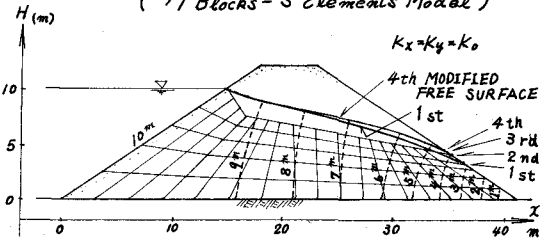


Table 1. Discharge ($\Sigma Q/k_0$)

	Upper	Lower
Sec T ₁	1.110	1.968
T ₂	1.138	1.921
T ₃	1.158	1.951
T ₄	1.152	1.913
T ₅	1.181	1.926
AVERAGE	1.841	
6 Blocks	1.814	
17 Blocks	1.820	
CASAGRANDE	1.600	